

# Méthodes d'analyses spatiales pour données fonctionnelles

---

**Michaël Génin**

 Univ. Lille – ULR 2694 METRICS | CHU de Lille – SEED

Webinar QuanTIM, 13 octobre 2023



1. Introduction
2. Données spatio-fonctionnelles
3. Statistiques de scan pour données spatio-fonctionnelles
4. Discussion

## Introduction

---



Université de Lille – ULR 2694 METRICS

Évaluation des technologies de santé et des pratiques médicales

## Statistique spatiale

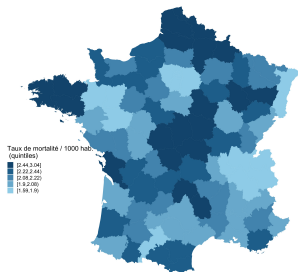
- ▶ Modèles bayésiens spatio-temporels pour le *disease mapping* et les études de corrélations écologiques
- ▶ Détection de clusters spatiaux et spatio-temporels pour données à haute dimension et de survie

## Epidémiologie environnementale

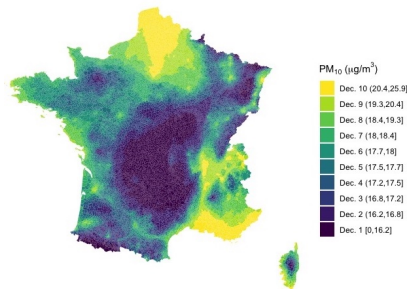
- ▶ Analyse des liens entre exposition environnementale et évènements de santé par approches spatiales et spatio-temporelles
- ▶ Identification de hotspots/coldspots d'évènement sanitaires / environnementaux

Données spatiales : ensemble de données  $\{X_1, \dots, X_n\}$  mesurées au sein de  $n$  sites spatiaux  $s_1, \dots, s_n \in \mathcal{S} \subset \mathbb{R}^2$

Distribution des taux de mortalité prématurée  
France | 1996-2013

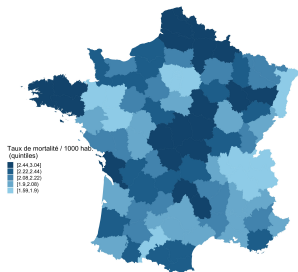


Mean concentration of PM10  
France | 2009-2020

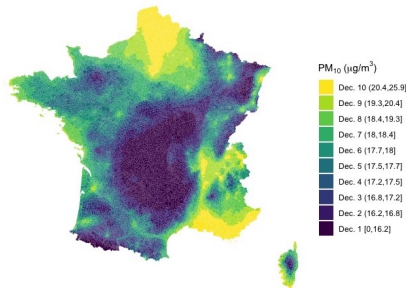


Données spatiales : ensemble de données  $\{X_1, \dots, X_n\}$  mesurées au sein de  $n$  sites spatiaux  $s_1, \dots, s_n \in \mathcal{S} \subset \mathbb{R}^2$

Distribution des taux de mortalité prématurée  
France | 1996-2013



Mean concentration of PM10  
France | 2009-2020

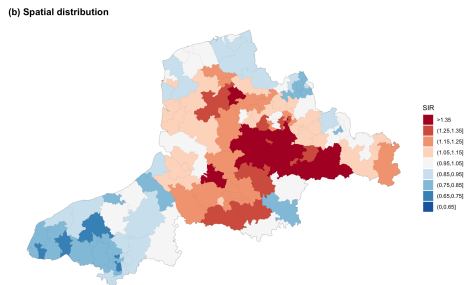
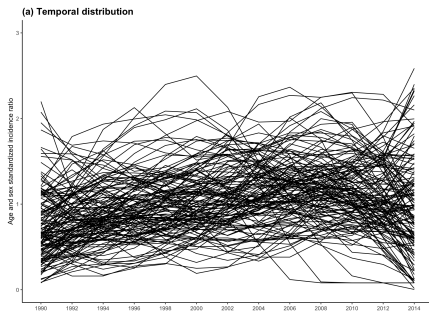


Données spatio-temporelles : ensemble de données  $\{\mathbf{X}_1, \dots, \mathbf{X}_n\}$  mesurées

- ▶ au sein de  $n$  sites spatiaux  $s_1, \dots, s_n \in \mathcal{S} \subset \mathbb{R}^2$
- ▶ au cours du temps :  $\mathbf{X}_i = \{X_{i,t_1}, X_{i,t_2}, \dots, X_{i,m_i}\}$

## Données d'incidence d'une pathologie (Registre, système de surveillance...)

- ▶ Maladie de Crohn (registre EPIMAD)
- ▶ Données spatiales : échelle cantonale (140) dans le nord de la France
- ▶ Données longitudinales : incidences annuelles (1990-2014)

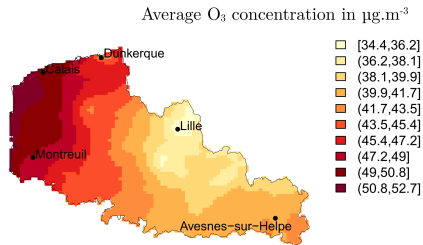
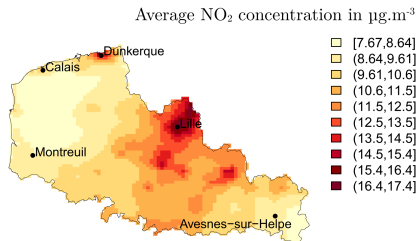
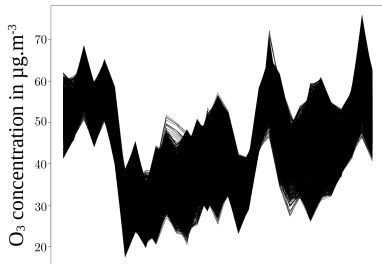
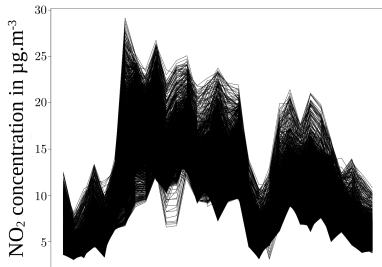


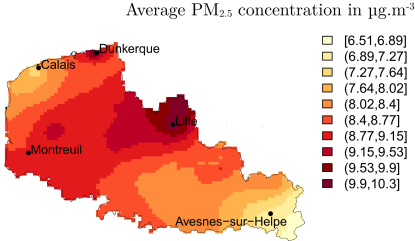
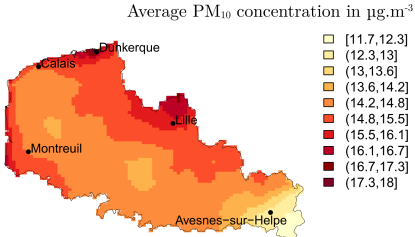
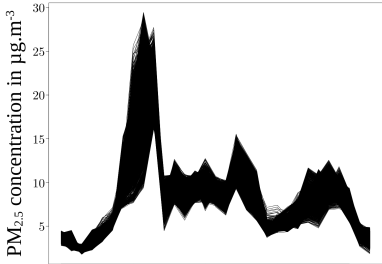
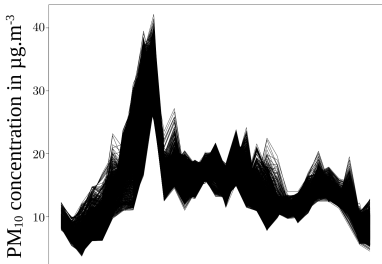
## Données environnementales

- ▶ Données spatiales : capteurs ( $\pm$  interpolation spatiale)
- ▶ Données longitudinales : mesures horaires, journalières. . .

## Pollution atmosphérique : données PREV'AIR (Ineris)

- ▶ NO<sub>2</sub>, PM<sub>10</sub>, PM<sub>2.5</sub>, O<sub>3</sub>
- ▶ Concentrations journalières moyennes ( $\mu\text{g}\cdot\text{m}^{-3}$ )
- ▶ Période : 1<sup>er</sup> octobre au 31 octobre 2021
- ▶ 3231 cellules de 2 km  $\times$  2 km dans le Nord-Pas-de-Calais

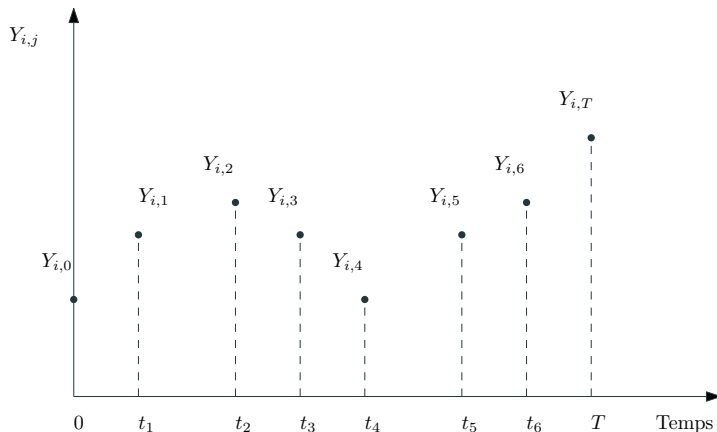




## Caractéristiques temporelles de ces données

Pour chaque site  $i$ , les données  $Y_i$  sont observées en un nombre fini de temps (discret)

$$Y_i = \{Y_{i,0}, \dots, Y_{i,m_i}\}$$

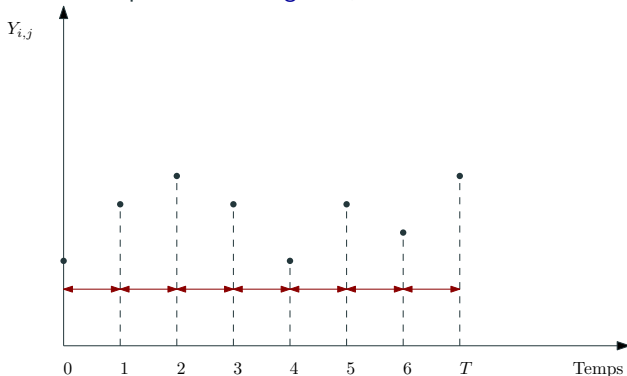


## Caractéristiques temporelles de ces données

Pour chaque site  $i$ , les données  $Y_i$  sont observées en un nombre fini de temps (discret)

$$Y_i = \{Y_{i,0}, \dots, Y_{i,m_i}\}$$

- Les temps de mesures peuvent être **réguliers**,

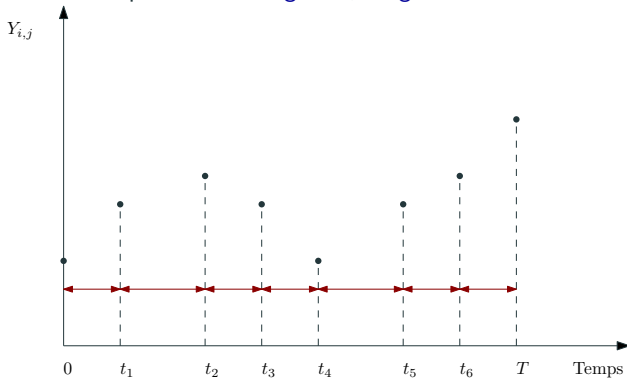


## Caractéristiques temporelles de ces données

Pour chaque site  $i$ , les données  $Y_i$  sont observées en un nombre fini de temps (discret)

$$Y_i = \{Y_{i,0}, \dots, Y_{i,m_i}\}$$

- Les temps de mesures peuvent être **réguliers**, **irréguliers**

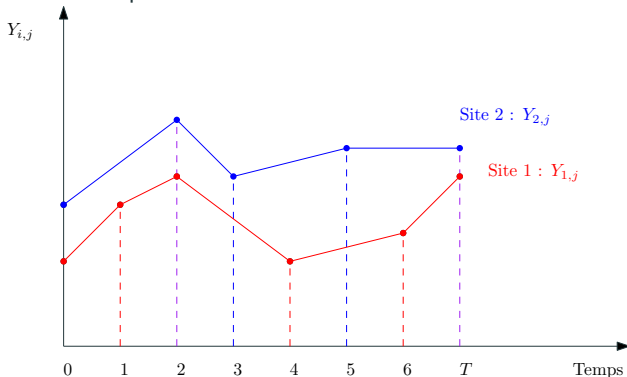


## Caractéristiques temporelles de ces données

Pour chaque site  $i$ , les données  $Y_i$  sont observées en un nombre fini de temps (discret)

$$Y_i = \{Y_{i,0}, \dots, Y_{i,m_i}\}$$

- ▶ Les temps de mesures peuvent être **réguliers**, **irréguliers**
- ▶ Les temps de mesures peuvent **varier d'un site à l'autre**

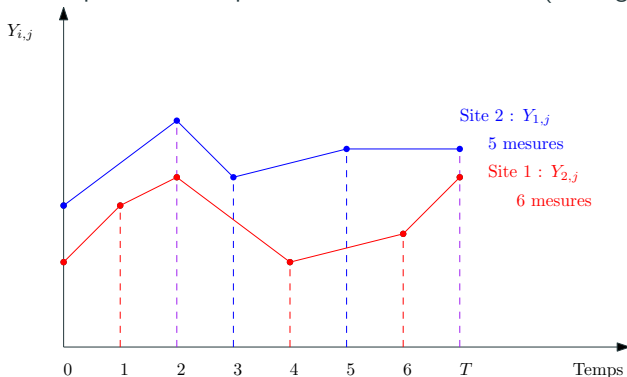


## Caractéristiques temporelles de ces données

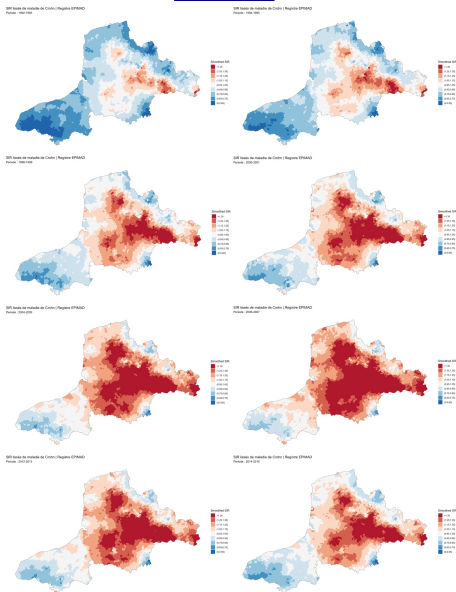
Pour chaque site  $i$ , les données  $Y_i$  sont observées en un nombre fini de temps (discret)

$$Y_i = \{Y_{i,0}, \dots, Y_{i,m_i}\}$$

- ▶ Les temps de mesures peuvent être **réguliers, irréguliers**
- ▶ Les temps de mesures peuvent **varier d'un site à l'autre**
- ▶ Le nombre de temps de mesures peut **varier d'un site à l'autre** (missing, ...)



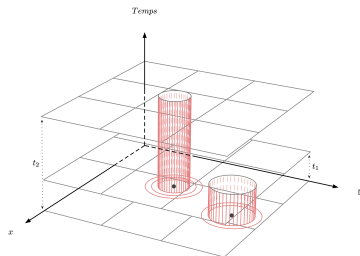
## Visualisation



## Facteurs associés : régressions

$$Y_{i,t} = f(X_{i,t}^1, X_{i,t}^2, \dots, X_{i,t}^p)$$

## Détection de clusters spatio-temporels



## Difficultés pour l'analyse statistique spatio-temporelle

Modélisations classiques nécessitent :

- ▶ "Au mieux" une donnée observée par site pour l'ensemble des temps de mesures
- ▶ Nombre raisonnable de temps de mesure / nombre d'unités spatiales
- ▶ Nombre raisonnable d'unités spatiales / nombre de temps de mesure

## Difficultés pour l'analyse statistique spatio-temporelle

Modélisations classiques nécessitent :

- ▶ "Au mieux" une donnée observée par site pour l'ensemble des temps de mesures
- ▶ Nombre raisonnable de temps de mesure / nombre d'unités spatiales
- ▶ Nombre raisonnable d'unités spatiales / nombre de temps de mesure

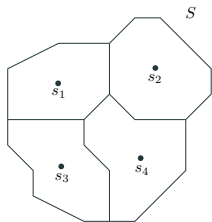
### Solution

- ▶ Modélisation par approche fonctionnelle
- ▶ Lissage / interpolation
- ▶ Données spatio-fonctionnelles

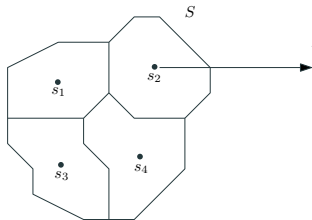
## Données spatio-fonctionnelles

---

Soient  $s_1, \dots, s_i, \dots, s_n$   $n$  sites spatiaux d'un domaine  $S \subset \mathbb{R}^2$



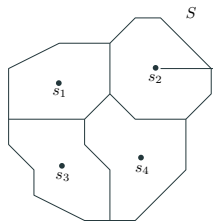
Soient  $s_1, \dots, s_i, \dots, s_n$   $n$  sites spatiaux d'un domaine  $S \subset \mathbb{R}^2$



A chaque site  $s_i$  on observe la réalisation d'un p.s.  $\{X^{(j)}(t), t \in \mathcal{T}\}$

$$\{X_i^{(1)}(t), X_i^{(2)}(t), \dots, X_i^{(p)}(t), t \in \mathcal{T}, \mathcal{T} = [0, T] \subset \mathbb{R}$$

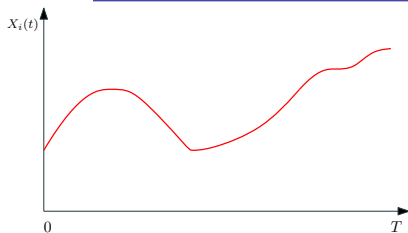
Soient  $s_1, \dots, s_i, \dots, s_n$   $n$  sites spatiaux d'un domaine  $S \subset \mathbb{R}^2$



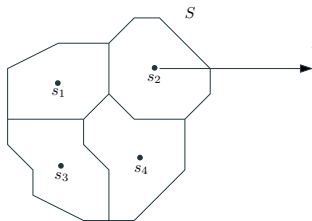
A chaque site  $s_i$  on observe la réalisation d'un p.s.  $\{X^{(j)}(t), t \in \mathcal{T}\}$

$$\{X_i^{(1)}(t), X_i^{(2)}(t), \dots, X_i^{(p)}(t), t \in \mathcal{T}\}, \mathcal{T} = [0, T] \subset \mathbb{R}$$

$p = 1 \rightarrow$  Données spatio-fonctionnelles univariées



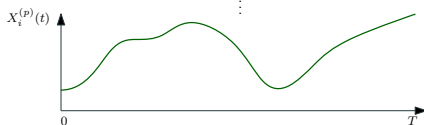
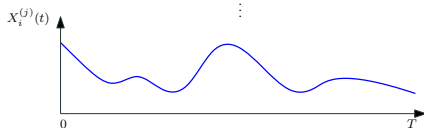
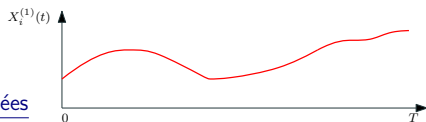
Soient  $s_1, \dots, s_i, \dots, s_n$   $n$  sites spatiaux d'un domaine  $S \subset \mathbb{R}^2$



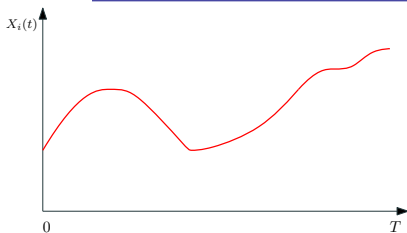
A chaque site  $s_i$  on observe la réalisation d'un p.s.  $\{X^{(j)}(t), t \in \mathcal{T}\}$

$$\{X_i^{(1)}(t), X_i^{(2)}(t), \dots, X_i^{(p)}(t), t \in \mathcal{T}\}, \mathcal{T} = [0, T] \subset \mathbb{R}$$

$p \geq 2 \rightarrow$  Données spatio-fonctionnelles multivariées



$p = 1 \rightarrow$  Données spatio-fonctionnelles univariées

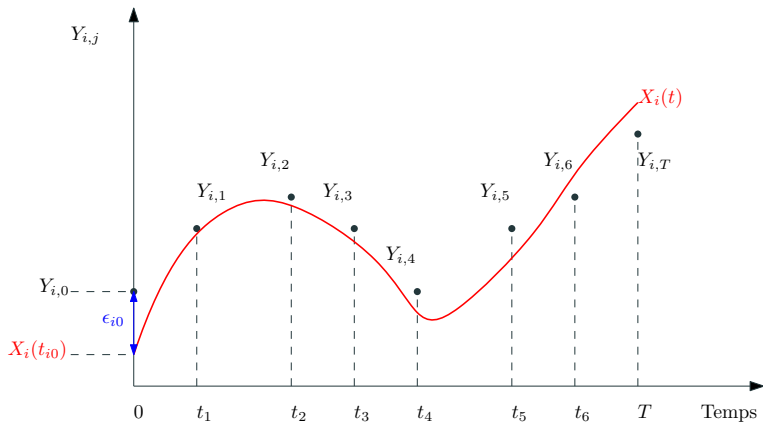


Observations discrètes  $Y_{i,j} \rightarrow$  on ne connaît pas la fonction  $X_i(t)$  sous-jacente. . .

Mais on peut la modéliser :

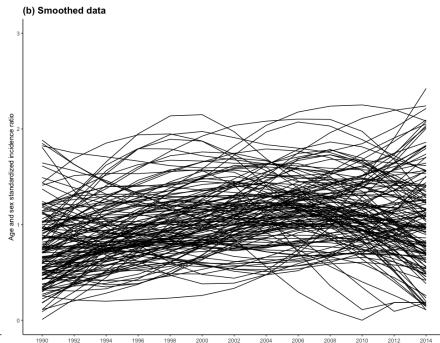
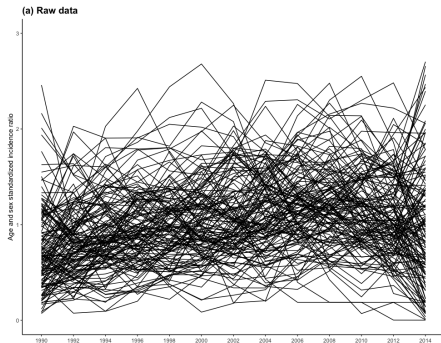
$$Y_{i,j} = \underbrace{X_i(t_{ij})}_{\text{Fonction latente}} + \underbrace{\epsilon_{ij}}_{\text{Bruit blanc}}$$

Obs.                      Fonction latente                      Bruit blanc



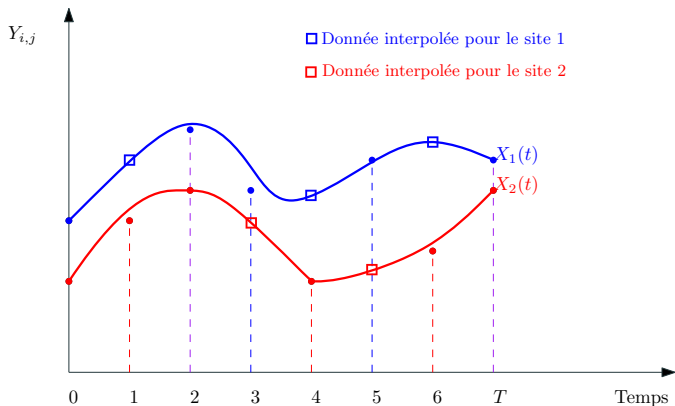
Pour chacun des sites, **estimer la fonction  $X_i(t)$**  permet :

- ▶ **de lisser les données, notamment si elles sont observées avec des erreurs**
- ▶ **de réaliser des interpolations pour pouvoir comparer les observations aux mêmes temps de mesure**



Pour chacun des sites, estimer la fonction  $X_i(t)$  permet :

- ▶ de lisser les données, notamment si elles sont observées avec des erreurs
- ▶ de réaliser des interpolations pour pouvoir comparer les observations aux mêmes temps de mesure



Pour chacun des sites, **estimer la fonction  $X_i(t)$**  permet :

- ▶ de lisser les données, notamment si elles sont observées avec des erreurs
- ▶ de réaliser des interpolations pour pouvoir comparer les observations aux mêmes temps de mesure

**Problématique** : dans la plupart des cas, on ne connaît pas l'expression mathématique de la fonction → il faut l'approcher.

**Solutions** :

- ▶ Projection dans des bases de fonctions connues (splines, Fourier, ondelettes. . .)
- ▶ Utilisation de bases de fonctions issues des données (ACP fonctionnelle)
- ▶ Approches non-paramétriques (Régression LOESS. . .)

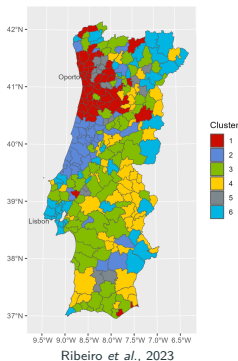
Méthodes d'analyses de données fonctionnelles **intégrant la notion de dépendance spatiale** :

- ▶ Régression [Dabo-Niang *et al.*, 2011 ; Bernardi *et al.*, 2017]
- ▶ Réduction de dimension (ACP...) [Demsar *et al.*, 2013]
- ▶ Clustering [Giraldo *et al.*, 2012 ; Vandewalle *et al.*, 2021]

Méthodes d'analyses de données fonctionnelles **intégrant la notion de dépendance spatiale** :

- ▶ Régression [Dabo-Niang *et al.*, 2011 ; Bernardi *et al.*, 2017]
- ▶ Réduction de dimension (ACP...) [Demsar *et al.*, 2013]
- ▶ Clustering [Giraldo *et al.*, 2012 ; Vandewalle *et al.*, 2021]

**⚠ Méthodes de clustering** → créer une partition des données spatio-fonctionnelles



- ▶ Les unités spatiales d'un groupe ne sont pas forcément adjacentes
- ▶ Typologies de territoires
- ▶ **Pas de détection de clusters spatiaux**
- ▶ **Pas d'inférence statistique**

## **Statistiques de scan pour données spatio-fonctionnelles**

---

## Statistique de scan

► Variable aléatoire utilisée comme **statistique de test** dont l'objectif est de tester la **présence d'un cluster d'évènements** au sein d'un espace étudié  $\mathcal{R}$

**Hypothèse nulle**  $\mathcal{H}_0$  : répartition homogène des évènements dans  $\mathcal{R}$

**Hypothèse alternative**  $\mathcal{H}_1$  : présence d'un cluster  $Z \in \mathcal{R}$  dans lequel la probabilité d'apparition de l'évènement est différente de celle dans le reste de  $\mathcal{R}$

## Statistique de scan

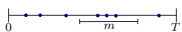
► Variable aléatoire utilisée comme **statistique de test** dont l'objectif est de tester la présence d'un **cluster d'évènements** au sein d'un espace étudié  $\mathcal{R}$

**Hypothèse nulle**  $\mathcal{H}_0$  : répartition homogène des évènements dans  $\mathcal{R}$

**Hypothèse alternative**  $\mathcal{H}_1$  : présence d'un cluster  $Z \in \mathcal{R}$  dans lequel la probabilité d'apparition de l'évènement est différente de celle dans le reste de  $\mathcal{R}$

Statistiques de scan  
unidimensionnelles

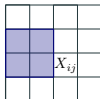
Discrètes



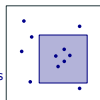
Continues

Statistiques de scan  
bidimensionnelles

Discrètes



Continues



Statistiques de scan  
spatiales



- Proposées par Kulldorff (1997)
- Nombreux développements
- Très utilisées en épidémiologie (2639 ref PubMed)

## Statistiques de scan spatiales : principe

Processus de scan sur  $\mathcal{R}$  : détection du cluster le plus probable (Most likely cluster (MLC))



$X_i$  : mesure au sein de l'unité spatiale  $i$

- ▶ Nb de cas de maladie
- ▶ Concentration en pollution

$\mu(X_i)$  : mesure d'intensité de l'unité spatiale  $i$

- ▶ Population à risque
- ▶ Superficie

## Statistiques de scan spatiales : principe

Processus de scan sur  $\mathcal{R}$  : détection du cluster le plus probable (Most likely cluster (MLC))

Fenêtre de scan circulaire  $Z$ 

- ▶ Centrée en chaque unité spatiale
- ▶ Rayon variable
- ▶ Maximum tel que  $\mu(Z) \leq \mu(\mathcal{R})/2$



- ▶ Cluster potentiel  $Z$



$X_i$  : mesure au sein de l'unité spatiale  $i$

- ▶ Nb de cas de maladie
- ▶ Concentration en pollution

$\mu(X_i)$  : mesure d'intensité de l'unité spatiale  $i$

- ▶ Population à risque
- ▶ Superficie

## Statistiques de scan spatiales : principe

**Processus de scan sur  $\mathcal{R}$**  : détection du cluster le plus probable (Most likely cluster (MLC))

### Fenêtre de scan circulaire $Z$

- ▶ Centrée en chaque unité spatiale
- ▶ Rayon variable
- ▶ Maximum tel que  $\mu(Z) \leq \mu(\mathcal{R})/2$



- ▶ Cluster potentiel  $Z$



$X_i$  : mesure au sein de l'unité spatiale  $i$

- ▶ Nb de cas de maladie
- ▶ Concentration en pollution

$\mu(X_i)$  : mesure d'intensité de l'unité spatiale  $i$

- ▶ Population à risque
- ▶ Superficie

## Statistiques de scan spatiales : principe

Processus de scan sur  $\mathcal{R}$  : détection du cluster le plus probable (Most likely cluster (MLC))

Fenêtre de scan circulaire  $Z$ 

- ▶ Centrée en chaque unité spatiale
- ▶ Rayon variable
- ▶ Maximum tel que  $\mu(Z) \leq \mu(\mathcal{R})/2$



- ▶ Cluster potentiel  $Z$



$X_i$  : mesure au sein de l'unité spatiale  $i$

- ▶ Nb de cas de maladie
- ▶ Concentration en pollution

$\mu(X_i)$  : mesure d'intensité de l'unité spatiale  $i$

- ▶ Population à risque
- ▶ Superficie

## Statistiques de scan spatiales : principe

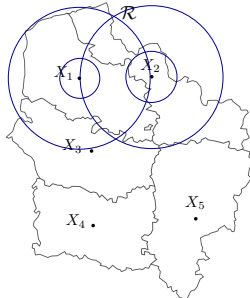
Processus de scan sur  $\mathcal{R}$  : détection du cluster le plus probable (Most likely cluster (MLC))

Fenêtre de scan circulaire  $Z$ 

- ▶ Centrée en chaque unité spatiale
- ▶ Rayon variable
- ▶ Maximum tel que  $\mu(Z) \leq \mu(\mathcal{R})/2$



- ▶ Cluster potentiel  $Z$



$X_i$  : mesure au sein de l'unité spatiale  $i$

- ▶ Nb de cas de maladie
- ▶ Concentration en pollution

$\mu(X_i)$  : mesure d'intensité de l'unité spatiale  $i$

- ▶ Population à risque
- ▶ Superficie

## Statistiques de scan spatiales : principe

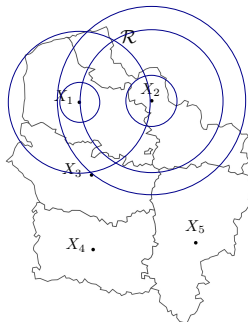
**Processus de scan sur  $\mathcal{R}$**  : détection du cluster le plus probable (Most likely cluster (MLC))

### Fenêtre de scan circulaire $Z$

- ▶ Centrée en chaque unité spatiale
- ▶ Rayon variable
- ▶ Maximum tel que  $\mu(Z) \leq \mu(\mathcal{R})/2$



- ▶ Cluster potentiel  $Z$



$X_i$  : mesure au sein de l'unité spatiale  $i$

- ▶ Nb de cas de maladie
- ▶ Concentration en pollution

$\mu(X_i)$  : mesure d'intensité de l'unité spatiale  $i$

- ▶ Population à risque
- ▶ Superficie

## Statistiques de scan spatiales : principe

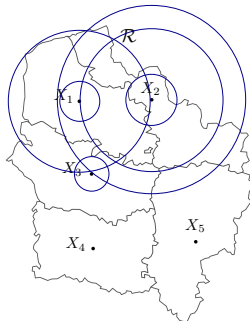
Processus de scan sur  $\mathcal{R}$  : détection du cluster le plus probable (Most likely cluster (MLC))

Fenêtre de scan circulaire  $Z$ 

- ▶ Centrée en chaque unité spatiale
- ▶ Rayon variable
- ▶ Maximum tel que  $\mu(Z) \leq \mu(\mathcal{R})/2$



- ▶ Cluster potentiel  $Z$



$X_i$  : mesure au sein de l'unité spatiale  $i$

- ▶ Nb de cas de maladie
- ▶ Concentration en pollution

$\mu(X_i)$  : mesure d'intensité de l'unité spatiale  $i$

- ▶ Population à risque
- ▶ Superficie

## Statistiques de scan spatiales : principe

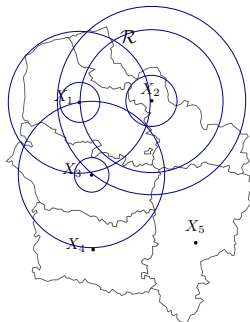
**Processus de scan sur  $\mathcal{R}$**  : détection du cluster le plus probable (Most likely cluster (MLC))

### Fenêtre de scan circulaire $Z$

- ▶ Centrée en chaque unité spatiale
- ▶ Rayon variable
- ▶ Maximum tel que  $\mu(Z) \leq \mu(\mathcal{R})/2$



- ▶ Cluster potentiel  $Z$



$X_i$  : mesure au sein de l'unité spatiale  $i$

- ▶ Nb de cas de maladie
- ▶ Concentration en pollution

$\mu(X_i)$  : mesure d'intensité de l'unité spatiale  $i$

- ▶ Population à risque
- ▶ Superficie

## Statistiques de scan spatiales : principe

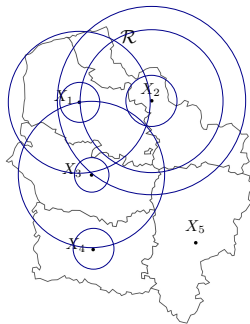
**Processus de scan sur  $\mathcal{R}$**  : détection du cluster le plus probable (Most likely cluster (MLC))

### Fenêtre de scan circulaire $Z$

- ▶ Centrée en chaque unité spatiale
- ▶ Rayon variable
- ▶ Maximum tel que  $\mu(Z) \leq \mu(\mathcal{R})/2$



- ▶ Cluster potentiel  $Z$



$X_i$  : mesure au sein de l'unité spatiale  $i$

- ▶ Nb de cas de maladie
- ▶ Concentration en pollution

$\mu(X_i)$  : mesure d'intensité de l'unité spatiale  $i$

- ▶ Population à risque
- ▶ Superficie

## Statistiques de scan spatiales : principe

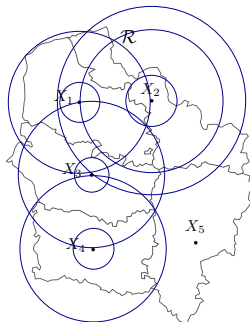
**Processus de scan sur  $\mathcal{R}$**  : détection du cluster le plus probable (Most likely cluster (MLC))

### Fenêtre de scan circulaire $Z$

- ▶ Centrée en chaque unité spatiale
- ▶ Rayon variable
- ▶ Maximum tel que  $\mu(Z) \leq \mu(\mathcal{R})/2$



- ▶ Cluster potentiel  $Z$



$X_i$  : mesure au sein de l'unité spatiale  $i$

- ▶ Nb de cas de maladie
- ▶ Concentration en pollution

$\mu(X_i)$  : mesure d'intensité de l'unité spatiale  $i$

- ▶ Population à risque
- ▶ Superficie

## Statistiques de scan spatiales : principe

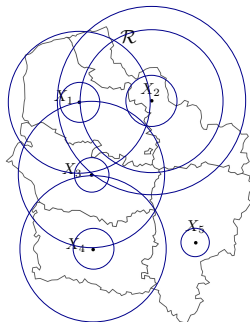
**Processus de scan sur  $\mathcal{R}$**  : détection du cluster le plus probable (Most likely cluster (MLC))

### Fenêtre de scan circulaire $Z$

- ▶ Centrée en chaque unité spatiale
- ▶ Rayon variable
- ▶ Maximum tel que  $\mu(Z) \leq \mu(\mathcal{R})/2$



- ▶ Cluster potentiel  $Z$



$X_i$  : mesure au sein de l'unité spatiale  $i$

- ▶ Nb de cas de maladie
- ▶ Concentration en pollution

$\mu(X_i)$  : mesure d'intensité de l'unité spatiale  $i$

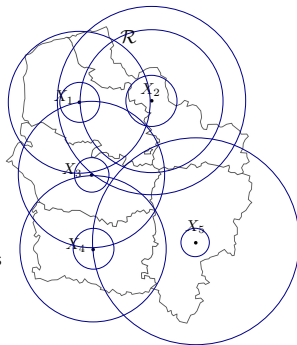
- ▶ Population à risque
- ▶ Superficie

## Statistiques de scan spatiales : principe

**Processus de scan sur  $\mathcal{R}$**  : détection du cluster le plus probable (Most likely cluster (MLC))

### Fenêtre de scan circulaire $Z$

- ▶ Centrée en chaque unité spatiale
  - ▶ Rayon variable
  - ▶ Maximum tel que  $\mu(Z) \leq \mu(\mathcal{R})/2$
- ↓
- ▶ Cluster potentiel  $Z$
- ↓
- ▶  $\mathcal{Z}$  : collection de clusters potentiels



$X_i$  : mesure au sein de l'unité spatiale  $i$

- ▶ Nb de cas de maladie
- ▶ Concentration en pollution

$\mu(X_i)$  : mesure d'intensité de l'unité spatiale  $i$

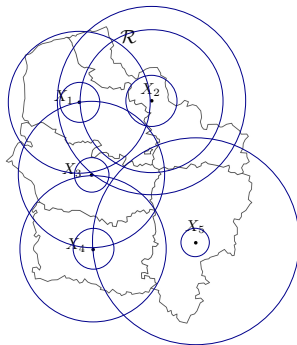
- ▶ Population à risque
- ▶ Superficie

## Statistiques de scan spatiales : principe

Processus de scan sur  $\mathcal{R}$  : détection du cluster le plus probable (Most likely cluster (MLC))

A chaque  $Z \in \mathcal{Z}$  :

► Indice de concentration  $I(Z)$



$X_i$  : mesure au sein de l'unité spatiale  $i$

- Nb de cas de maladie
- Concentration en pollution

$\mu(X_i)$  : mesure d'intensité de l'unité spatiale  $i$

- Population à risque
- Superficie

## Statistiques de scan spatiales : principe

Processus de scan sur  $\mathcal{R}$  : détection du cluster le plus probable (Most likely cluster (MLC))

A chaque  $Z \in \mathcal{Z}$  :

► Indice de concentration  $I(Z)$



Most likely cluster  $\tilde{Z}$  :

$$\tilde{Z} = \underset{z \in \mathcal{Z}}{\operatorname{argmax}} I(Z)$$



$X_i$  : mesure au sein de l'unité spatiale  $i$

- Nb de cas de maladie
- Concentration en pollution

$\mu(X_i)$  : mesure d'intensité de l'unité spatiale  $i$

- Population à risque
- Superficie

## Statistiques de scan spatiales : principe

### Définition de la statistique de scan spatiale et inférence statistique

A chaque  $Z \in \mathcal{Z}$  :

- Indice de concentration  $I(Z)$



Most likely cluster  $\tilde{Z}$ :

$$\tilde{Z} = \underset{z \in \mathcal{Z}}{\operatorname{argmax}} I(Z)$$



$X_i$  : mesure au sein de l'unité spatiale  $i$

- Nb de cas de maladie
- Concentration en pollution

$\mu(X_i)$  : mesure d'intensité de l'unité spatiale  $i$

- Population à risque
- Superficie

Statistique de scan spatiale:

$$\Lambda = \max_{z \in \mathcal{Z}} I(Z) = I(\tilde{Z})$$

Hypothèses de test

$\mathcal{H}_0$  : absence de cluster

$\mathcal{H}_1$  : présence d'au moins 1 cluster

$$\mathcal{H}_1 = \{ \mathcal{H}_1^{(Z_1)}, \mathcal{H}_1^{(Z_2)}, \dots \}_{Z_i \in \mathcal{Z}}$$

Inférence statistique

- Procédure de Monte-Carlo
  - Générations sous  $\mathcal{H}_0$
  - Permutations

## Données univariées : $X_i$

- ▶ Bernoulli, Poisson (Kulldorff and Nagarwalla, 1995 ; Kulldorff, 1997)
- ▶ Gaussien (Kulldorff et al., 2009)
- ▶ Zero-inflated (de Lima et al., 2015)
- ▶ Non-paramétrique (Jung and Cho, 2015 ; Cucala, 2016)
- ▶ ...

## Données univariées : $X_i$

- ▶ Bernoulli, Poisson (Kulldorff and Nagarwalla, 1995 ; Kulldorff, 1997)
- ▶ Gaussien (Kulldorff et al., 2009)
- ▶ Zero-inflated (de Lima et al., 2015)
- ▶ Non-paramétrique (Jung and Cho, 2015 ; Cucala, 2016)
- ▶ ...

## Données multivariées : $(X_i^1, \dots, X_i^p)$

- ▶ Gaussien (Cucala et al., 2017)
- ▶ Non-paramétrique (Cucala et al., 2019)
- ▶ ...

## Données univariées : $X_i$

- ▶ Bernoulli, Poisson (Kulldorff and Nagarwalla, 1995 ; Kulldorff, 1997)
- ▶ Gaussien (Kulldorff et al., 2009)
- ▶ Zero-inflated (de Lima et al., 2015)
- ▶ Non-paramétrique (Jung and Cho, 2015 ; Cucala, 2016)
- ▶ ...

## Données multivariées : $(X_i^1, \dots, X_i^p)$

- ▶ Gaussien (Cucala et al., 2017)
- ▶ Non-paramétrique (Cucala et al., 2019)
- ▶ ...

**Gap** : Aucun modèle pour données fonctionnelles

## Données univariées : $X_i$

- ▶ Bernoulli, Poisson (Kulldorff and Nagarwalla, 1995 ; Kulldorff, 1997)
- ▶ Gaussien (Kulldorff et al., 2009)
- ▶ Zero-inflated (de Lima et al., 2015)
- ▶ Non-paramétrique (Jung and Cho, 2015 ; Cucala, 2016)
- ▶ ...

## Données multivariées : $(X_i^1, \dots, X_i^p)$

- ▶ Gaussien (Cucala et al., 2017)
- ▶ Non-paramétrique (Cucala et al., 2019)
- ▶ ...

**Gap** : Aucun modèle pour données fonctionnelles

- ▶ **Scan univarié** : résumer l'information sur l'ensemble des temps de mesures  
⚠ Importante perte d'information
- ▶ **Scan multivarié** : autant de variables que de temps de mesures  
⚠ problème de haute dimension et de fortes corrélations

## Qu'est-ce qu'un cluster spatial de données fonctionnelles ?

## Qu'est-ce qu'un cluster spatial de données fonctionnelles ?

Univarié :  $X \in \mathbb{R} : \mathbb{E}[X_i | s_i \in Z] = \mathbb{E}[X_i | s_i \notin Z] + \Delta$  avec  $\Delta \neq 0$ .

## Qu'est-ce qu'un cluster spatial de données fonctionnelles ?

Univarié :  $X \in \mathbb{R} : \mathbb{E}[X_i | s_i \in Z] = \mathbb{E}[X_i | s_i \notin Z] + \Delta$  avec  $\Delta \neq 0$ .

Fonctionnel : Dai and Genton (2019) : magnitude and shape outliers

$$\text{💡 } \forall t \in \mathcal{T}, \mathbb{E}[X_i(t) | s_i \in Z] = \mathbb{E}[X_i(t) | s_i \notin Z] + \Delta(t)$$

## Qu'est-ce qu'un cluster spatial de données fonctionnelles ?

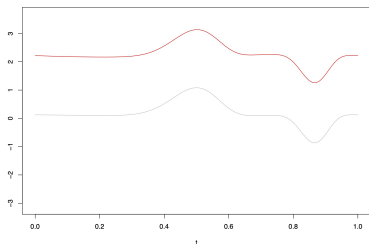
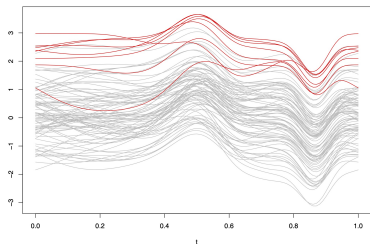
Univarié :  $X \in \mathbb{R} : \mathbb{E}[X_i | s_i \in Z] = \mathbb{E}[X_i | s_i \notin Z] + \Delta$  avec  $\Delta \neq 0$ .

Fonctionnel : Dai and Genton (2019) : magnitude and shape outliers

$$\text{💡 } \forall t \in \mathcal{T}, \mathbb{E}[X_i(t) | s_i \in Z] = \mathbb{E}[X_i(t) | s_i \notin Z] + \Delta(t)$$

Selon la forme de  $\Delta(\cdot)$  :

- ▶ Cluster en amplitude
- ▶ Cluster en forme



## Qu'est-ce qu'un cluster spatial de données fonctionnelles ?

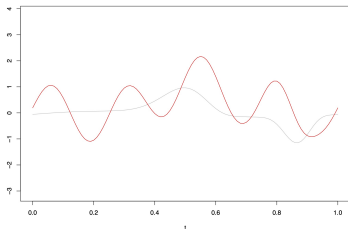
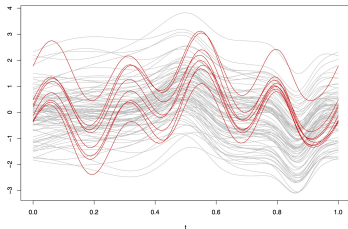
Univarié :  $X \in \mathbb{R} : \mathbb{E}[X_i | s_i \in Z] = \mathbb{E}[X_i | s_i \notin Z] + \Delta$  avec  $\Delta \neq 0$ .

Fonctionnel : Dai and Genton (2019) : magnitude and shape outliers

$$\text{💡 } \forall t \in \mathcal{T}, \mathbb{E}[X_i(t) | s_i \in Z] = \mathbb{E}[X_i(t) | s_i \notin Z] + \Delta(t)$$

Selon la forme de  $\Delta(\cdot)$  :

- ▶ Cluster en amplitude
- ▶ **Cluster en forme**



## Statistiques de scan pour données spatio-fonctionnelles

## Statistiques de scan pour données spatio-fonctionnelles



-  C. Frévent, M.S. Ahmed, M. Marbac, **M. Genin** (2021).  
Detecting spatial clusters in functional data: new scan  
statistic approaches. *Spatial Statistics*. (46),100550.

### Paramétrique

- Anova fonctionnelle

### Non-paramétrique

- Cucala [2014] + Lin [2021]

## Statistiques de scan pour données spatio-fonctionnelles



📄 C. Frévent, M.S. Ahmed, M. Marbac, **M. Genin** (2021). Detecting spatial clusters in functional data: new scan statistic approaches. *Spatial Statistics*. (46),100550.

**Paramétrique**

- Anova fonctionnelle

**Non-paramétrique**

- Cucala [2014] + Lin [2021]

📄 C. Frévent, M.S. Ahmed, S. Dabo-Niang, **M. Genin**. Investigating spatial scan statistics for multivariate functional data (2023). *Journal of the Royal Statistical Society - Series C* Volume 72, Issue 2, May 2023, Pages 450–475.

**Paramétrique**

- Manova fonctionnelle

**Non-paramétrique**

- Extension Frevent et al. 2021
- Multivariate functional Mann-Withney test

## Statistiques de scan pour données spatio-fonctionnelles



📄 C. Frévent, M.S. Ahmed, M. Marbac, **M. Genin** (2021). Detecting spatial clusters in functional data: new scan statistic approaches. *Spatial Statistics*. (46),100550.

### Paramétrique

- Anova fonctionnelle

### Non-paramétrique

- Cucala [2014] + Lin [2021]

📄 C. Frévent, M.S. Ahmed, S. Dabo-Niang, **M. Genin**. Investigating spatial scan statistics for multivariate functional data (2023). *Journal of the Royal Statistical Society - Series C* Volume 72, Issue 2, May 2023, Pages 450–475.

### Paramétrique

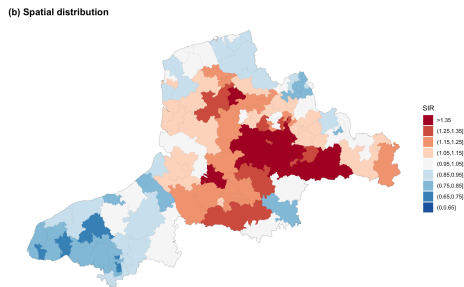
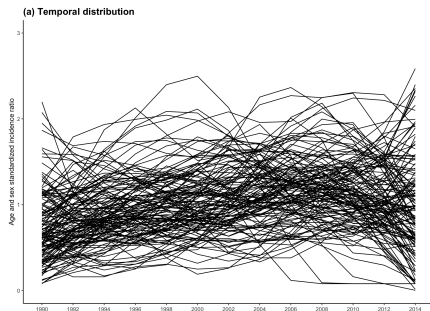
- Manova fonctionnelle

### Non-paramétrique

- Extension Frévent et al. 2021
- Multivariate functional Mann-Whitney test

📄 Package R HDSpatialScan CRAN (2021)

📄 C. Frévent, M.S. Ahmed, J. Soula, Z. Smida, L. Cucala, S. Dabo-Niang, **M. Genin** (2022). The R package HDSpatialScan for Multivariate and Functional Spatial Scan Statistics. *R journal*, 14(3),95-120.



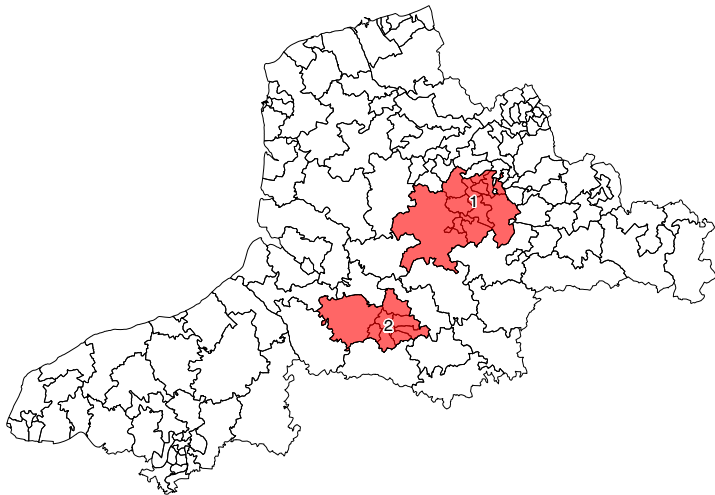
Objectif : détection de clusters spatiaux d'incidence de maladie de Crohn

Méthode :

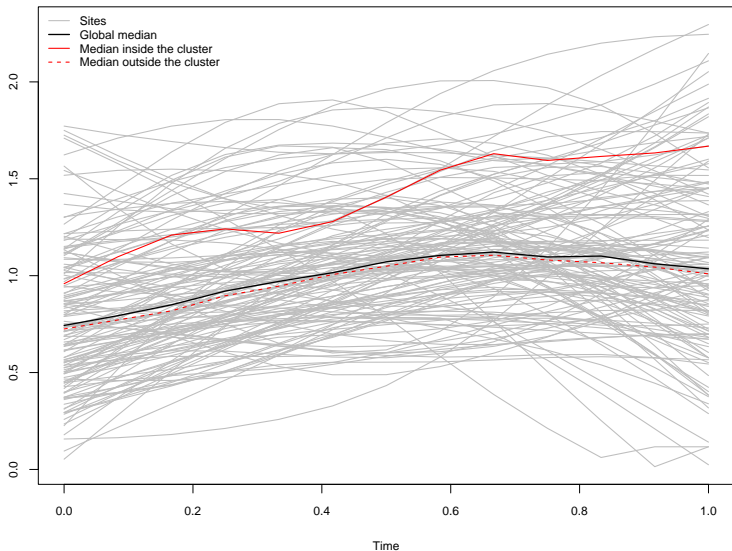
- ▶ Lissage par B-splines cubiques
- ▶ Scan fonctionnel univarié non-paramétrique

## 2 clusters spatiaux significatifs :

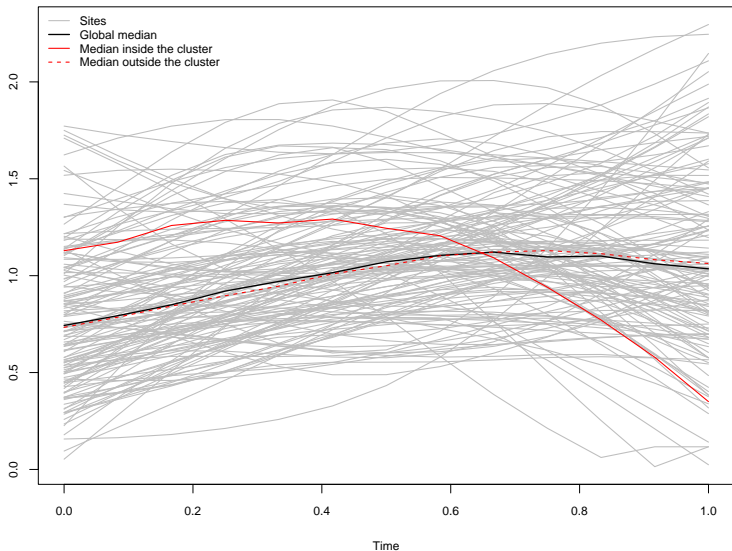
- ▶ Cluster 1 : 11 cantons,  $p=0.005$
- ▶ Cluster 2 : 8 cantons,  $p=0.009$

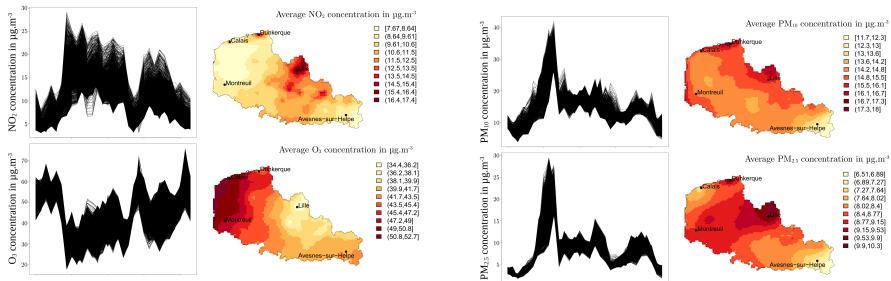


Cluster 1



Cluster 2



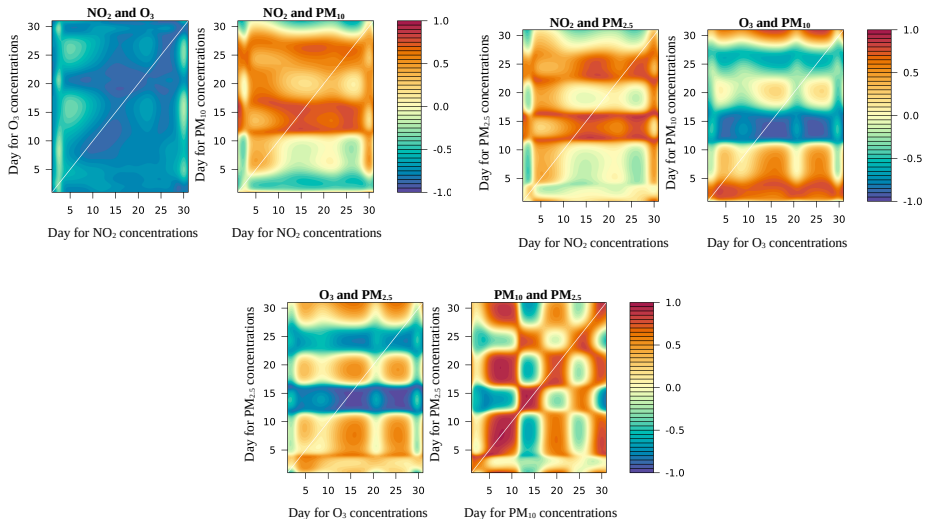


**Objectif :** détection de points noirs environnementaux

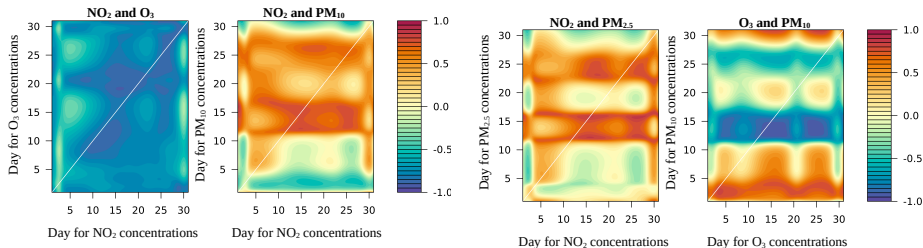
**Méthodes :**

- ▶ Lissage par B-splines cubiques
- ▶ Scan fonctionnel univarié sur chacune des composantes ?  
⇒ **Quid des corrélations entre polluants ?**

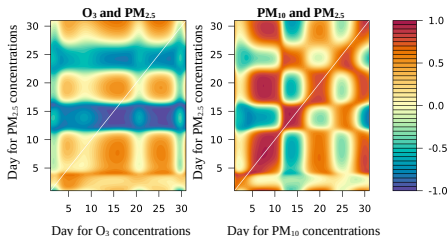
## Correlation surfaces on the data with a B-splines smoothing

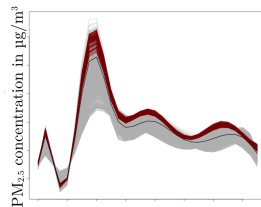
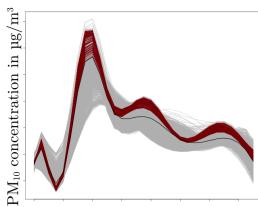
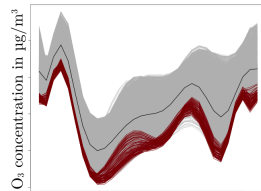
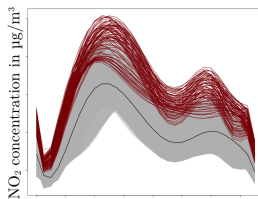


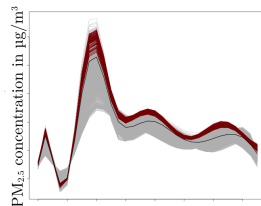
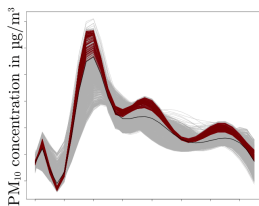
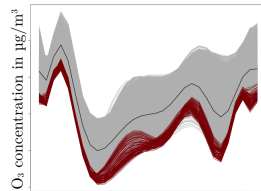
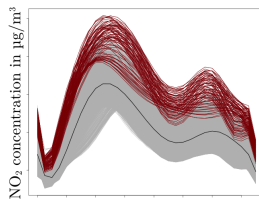
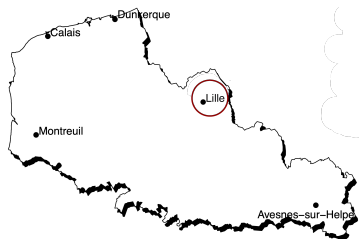
## Correlation surfaces on the data with a B-splines smoothing



## Scan fonctionnel multivarié







Source : gifex.com

## Discussion

---

## Modélisation de données spatio-temporelles par approches fonctionnelles

- ▶ Lissage si données observées avec erreurs
- ▶ Interpolation si temps de mesures différents selon les sites

## Statistiques de scan spatiales pour données fonctionnelles

- ▶ Pas de perte d'information / univarié, pas de pb de haute dimension / multivarié
- ▶ Range de clusters détectables (en amplitude, en forme...)
- ▶ Forme fenêtre adaptable
- ▶ Coût computationnel
- ▶ Ajustement sur covariables  $\rightarrow$  modèles linéaires (généralisés) fonctionnels

$$Y_i(t) = \beta_0(t) + \int_{\mathcal{T}} \beta(s, t)^\top X_i(s) ds + \alpha_w(t) \mathbb{1}_{s_i \in w} + \varepsilon_i(t)$$

- ▶ Scan fonctionnel multivarié : co-occurrence de plusieurs pathologies

**Merci de votre attention**

**Assumption** :  $X \in \mathcal{L}^2(\mathcal{T}, \mathbb{R})$ . Cuevas et al. (2004) proposed a functional ANOVA.

**Step 1** :

$$\mathcal{H}_0 : \mu_w = \mu_{w^c}$$

vs.

$$\mathcal{H}_1^{(w)} : \mu_w \neq \mu_{w^c}$$

$$F_n^{(w)} = \frac{|w| \|\bar{X}_w - \bar{X}\|_2^2 + |w^c| \|\bar{X}_{w^c} - \bar{X}\|_2^2}{\frac{1}{n-2} \left[ \sum_{j, s_j \in w} \|X_j - \bar{X}_w\|_2^2 + \sum_{j, s_j \in w^c} \|X_j - \bar{X}_{w^c}\|_2^2 \right]}$$

**Assumption** :  $X \in \mathcal{L}^2(\mathcal{T}, \mathbb{R})$ . Cuevas et al. (2004) proposed a functional ANOVA.

**Step 1 :**

$$\mathcal{H}_0 : \mu_w = \mu_{w^c}$$

vs.

$$\mathcal{H}_1^{(w)} : \mu_w \neq \mu_{w^c}$$

$$F_n^{(w)} = \frac{|w| \|\bar{X}_w - \bar{X}\|_2^2 + |w^c| \|\bar{X}_{w^c} - \bar{X}\|_2^2}{\frac{1}{n-2} \left[ \sum_{j, s_j \in w} \|X_j - \bar{X}_w\|_2^2 + \sum_{j, s_j \in w^c} \|X_j - \bar{X}_{w^c}\|_2^2 \right]}$$

**Step 2 :**

$$\mathcal{H}_0 : \forall w \in \mathcal{W}, \mu_w = \mu_{w^c}$$

vs.

$$\mathcal{H}_1 : \exists w \in \mathcal{W}, \mu_w \neq \mu_{w^c}$$

$F_n^{(w)}$  is considered as a concentration index and maximised over  $\mathcal{W}$  :

$$\Lambda_{\text{PFSS}} = \max_{w \in \mathcal{W}} F_n^{(w)} \text{ and } \text{MLC} = \arg \max_{w \in \mathcal{W}} F_n^{(w)}$$

Ideas of Cucala et al. (2014) and Lin et al. (2021)

**Assumption :**  $\mathbb{V}[X_i(t)] = \sigma^2(t)$  for  $i \in \llbracket 1, n \rrbracket$

**Step 1 :**  $\mathcal{H}_0 : \mu_w(t) = \mu_{w^c}(t) = \mu_S(t)$

$$I^{(w)}(t) = \frac{|\bar{X}_w(t) - \bar{X}_{w^c}(t)|}{\sqrt{\hat{\mathbb{V}}[\bar{X}_w(t) - \bar{X}_{w^c}(t)]}}$$

with  $\hat{\mathbb{V}}[\bar{X}_w(t) - \bar{X}_{w^c}(t)] = \hat{\sigma}^2(t) \left[ \frac{1}{|w|} + \frac{1}{|w^c|} \right]$  and

$$\hat{\sigma}^2(t) = \frac{1}{n-2} \left[ \sum_{i, s_i \in w} (X_i(t) - \bar{X}_w(t))^2 + \sum_{i, s_i \in w^c} (X_i(t) - \bar{X}_{w^c}(t))^2 \right]$$

Ideas of Cucala et al. (2014) and Lin et al. (2021)

**Assumption** :  $\mathbb{V}[X_i(t)] = \sigma^2(t)$  for  $i \in \llbracket 1, n \rrbracket$

**Step 1** :  $\mathcal{H}_0 : \mu_w(t) = \mu_{w^c}(t) = \mu_S(t)$

$$I^{(w)}(t) = \frac{|\bar{X}_w(t) - \bar{X}_{w^c}(t)|}{\sqrt{\hat{\mathbb{V}}[\bar{X}_w(t) - \bar{X}_{w^c}(t)]}}$$

**Step 2** :  $\mathcal{H}_0 : \mu_w = \mu_{w^c} = \mu_S$

Globalization of the information (Lin et al. 2021) :

$$I^{(w)} = \sup_{t \in \mathcal{T}} I^{(w)}(t)$$

Ideas of Cucala et al. (2014) and Lin et al. (2021)

**Assumption** :  $\mathbb{V}[X_i(t)] = \sigma^2(t)$  for  $i \in \llbracket 1, n \rrbracket$

**Step 1** :  $\mathcal{H}_0 : \mu_w(t) = \mu_{w^c}(t) = \mu_S(t)$

$$I^{(w)}(t) = \frac{|\bar{X}_w(t) - \bar{X}_{w^c}(t)|}{\sqrt{\hat{\mathbb{V}}[\bar{X}_w(t) - \bar{X}_{w^c}(t)]}}$$

**Step 2** :  $\mathcal{H}_0 : \mu_w = \mu_{w^c} = \mu_S$

Globalization of the information (Lin et al. 2021) :

$$I^{(w)} = \sup_{t \in \mathcal{T}} I^{(w)}(t)$$

**Step 3** :

$$\mathcal{H}_0 : \forall w \in \mathcal{W}, \mu_w = \mu_{w^c}$$

vs.

$$\mathcal{H}_1 : \exists w \in \mathcal{W}, \mu_w \neq \mu_{w^c}$$

$$\Lambda_{\text{DFFSS}} = \max_{w \in \mathcal{W}} I^{(w)} \text{ and } \text{MLC} = \arg \max_{w \in \mathcal{W}} I^{(w)}$$

**Assumption :**  $X \in \mathcal{L}^2(\mathcal{T}, \mathbb{R}^p)$

**Step 1 :** Gorecki et Smaga (2017) proposed a functional MANOVA.

$$\begin{aligned}\mathcal{H}_0 &: \mu_w = \mu_{w^c} \\ \mathcal{H}_1^{(w)} &: \mu_w \neq \mu_{w^c}\end{aligned}$$

$$\text{LH}^{(w)} = \text{Trace}(H_w E_w^{-1})$$

where

$$H_w = |w| \int_{\mathcal{T}} [\bar{X}_w(t) - \bar{X}(t)][\bar{X}_w(t) - \bar{X}(t)]^{\top} dt + |w^c| \int_{\mathcal{T}} [\bar{X}_{w^c}(t) - \bar{X}(t)][\bar{X}_{w^c}(t) - \bar{X}(t)]^{\top} dt$$

and

$$E_w = \sum_{j, s_j \in w} \int_{\mathcal{T}} [X_j(t) - \bar{X}_w(t)][X_j(t) - \bar{X}_w(t)]^{\top} dt + \sum_{j, s_j \in w^c} \int_{\mathcal{T}} [X_j(t) - \bar{X}_{w^c}(t)][X_j(t) - \bar{X}_{w^c}(t)]^{\top} dt$$

**Step 2 :**

$$\begin{aligned}\mathcal{H}_0 &: \forall w \in \mathcal{W}, \mu_w = \mu_{w^c} \\ \mathcal{H}_1^{(w)} &: \mu_w \neq \mu_{w^c}\end{aligned}$$

$$\Lambda_{\text{MPFSS}} = \max_{w \in \mathcal{W}} \text{LH}^{(w)}$$

# Pointwise Hotelling's t-squared test statistic - MDFSS

Assumption :  $\mathbb{V}[X_i(t)] = \Sigma(t, t), \forall i \in \llbracket 1, n \rrbracket$

Step 1 Qui et al. 2021 :

$$\begin{aligned}\mathcal{H}_0 &: \mu_w = \mu_{w^c} \\ \mathcal{H}_1^{(w)} &: \mu_w \neq \mu_{w^c}\end{aligned}$$

$$T^{(w)} = \sup_{t \in \mathcal{T}} T^{(w)}(t)$$

where

$$T^{(w)}(t) = \frac{|w||w^c|}{n} (\bar{X}_w(t) - \bar{X}_{w^c}(t))^\top \hat{\Sigma}(t, t)^{-1} (\bar{X}_w(t) - \bar{X}_{w^c}(t)),$$

and  $\hat{\Sigma}(s, t) =$

$$\frac{1}{n-2} \left[ \sum_{i, s_j \in w} (X_i(s) - \bar{X}_w(s))(X_i(t) - \bar{X}_w(t))^\top + \sum_{i, s_j \in w^c} (X_i(s) - \bar{X}_{w^c}(s))(X_i(t) - \bar{X}_{w^c}(t))^\top \right].$$

Step 2 :

$$\begin{aligned}\mathcal{H}_0 &: \forall w \in \mathcal{W}, \mu_w = \mu_{w^c} \\ \mathcal{H}_1^{(w)} &: \mu_w \neq \mu_{w^c}\end{aligned}$$

$$\Lambda_{\text{MDFSS}} = \max_{w \in \mathcal{W}} T^{(w)}.$$

**Step 1** :  $\mathcal{H}_0$  : identical distributions in  $w$  and  $w^c$

$$W^{(w)} = \sup_{t \in \mathcal{T}} W^{(w)}(t)$$

where  $W^{(w)}(t)$  is the Wilcoxon-Mann-Whitney test statistic for multivariate data (Oja and Randles (2004)) adapted to the pointwise case

**Step 2** :  $\mathcal{H}_0$  :  $\forall w \in \mathcal{W}$ , the distributions are identical in  $w$  and  $w^c$

$$\Lambda_{\text{MRBFSS}} = \max_{w \in \mathcal{W}} W^{(w)}$$

**Step 1** :  $\mathcal{H}_0$  : identical distributions in  $w$  and  $w^c$

$$W^{(w)} = \sup_{t \in \mathcal{T}} W^{(w)}(t)$$

where  $W^{(w)}(t)$  is the Wilcoxon-Mann-Whitney test statistic for multivariate data (Oja and Randles (2004)) adapted to the pointwise case

**Step 2** :  $\mathcal{H}_0$  :  $\forall w \in \mathcal{W}$ , the distributions are identical in  $w$  and  $w^c$

$$\Lambda_{\text{MRBFSS}} = \max_{w \in \mathcal{W}} W^{(w)}$$

The **statistical significance** of the MLC is estimated as previously.